

<b>Spezifikation</b> Physikalische und chemische Eigenschaften	<b>PCE</b> <b>B 270 Superwite</b>		
<table><tr><td data-bbox="233 551 580 595"><b>B 270 Superwite</b></td><td data-bbox="1110 551 1251 595"><b>D 0092</b></td></tr></table> <p>B 270 ist ein farbloses hochtransparentes Kronglas (modifiziertes Kalk - Natron - Glas), das in Form von Tafeln, optischen Stäben, Profilstäben, Barren und Kettenglas lieferbar ist.</p> <p>Die nachfolgenden Eigenschaften beruhen überwiegend auf den Messergebnissen neuester Normen bzw. Messverfahren. Diese sind in den dazugehörigen "Mess- und Prüfverfahren" definiert. Wir behalten uns das Recht vor, die Daten dem Stand der Technik anzupassen. Nicht tolerierte Größen sind Anhaltswerte einer mittleren Produktionslage.</p> <p>Mit dem Sonderzeichen <math>\diamond</math> versehene Angaben sind für die Glasart nicht zutreffend, bzw. es liegen keine Angaben vor.</p> <p>Von dieser Spezifikation abweichende Anforderungen müssen mit einer <b>Kundenvereinbarung</b> schriftlich geregelt werden.</p> <p><b>Freigabedatum: 23. Juni 2004</b></p>		<b>B 270 Superwite</b>	<b>D 0092</b>
<b>B 270 Superwite</b>	<b>D 0092</b>		

Form 0050/7A

<b>Spezifikation</b>		<b>PCE</b>	
Physikalische und chemische Eigenschaften		<b>B 270 Superwite</b>	
<b>1.</b>	<b>Optische Eigenschaften</b>		
<b>1.1</b>	<b>Brechzahlen (20 °C)</b>		
	Probenvorbehandlung	$n_g$	1,5341
	gekühlt mit 40 °C/h	$n_{F'}$	1,5297
		$n_F$	1,5292
		$n_e$	1,5251 ± 0,001*
		$n_d$	1,5230
		$n_D$	1,5229
	* ± 0,0003 auf Anforderung	$n_{C'}$	1,5207
		$n_C$	1,5203
	weitere Brechzahlen im UV und IR (Anhaltswerte)	siehe Anlage	
<b>1.1.1</b>	<b>Abbesche Zahl</b>	$n_e$	58,3 ± 0,6
		$n_d$	58,5
<b>1.2</b>	<b>Transmissionsgrade</b>		
<b>1.2.1</b>	<b>Spektraler Transmissionsgrad <math>t(I)</math></b>		
<b>1.2.1.1</b>	<b><math>t(I)</math> - Kurve</b>		
	Verlauf des spektralen Transmissionsgrades $t(I)$ für $d = 2,0$ mm und $d = 15$ mm ( $I = 280$ nm bis 650 nm)	siehe Anlage	
	$d = 2,0$ mm und $d = 15$ mm ( $I = 280$ nm bis 2000 nm)	siehe Anlage	
<b>1.2.1.2</b>	<b><math>t(I)</math> - Einzelwerte</b>	siehe Anlage	
<b>1.2.1.3</b>	<b>Kantenlage (<math>d = 2,0</math> mm)</b>		
	Kantenwellenlänge	$I_c(t = 0,46)$ in nm	312
	Solarisationsverhalten s.a. 6.2		
	weitere Angaben	$I_s(t = 0,05)$ in nm	294
		$I_p(t = 0,85)$ in nm	340
<b>1.2.2</b>	<b>Lichttransmissionsgrad <math>t_v</math></b>		
<b>1.2.2.1</b>	<b>Lichttransmissionsgrad in Abhängigkeit der Dicke</b>		
	Dicke in mm	$t_{vD65}$ in %	$t_{vA}$ in %
	2,0	91,7	91,7
	4,0	91,6	91,6
	15,0	91,0	91,0

Form 0050/7B

<b>Spezifikation</b>		<b>PCE</b>	
Physikalische und chemische Eigenschaften		<b>B 270 Superwite</b>	
<b>1.2.3</b>	<b>Spezielle Transmissionsgrade in % (<math>d = 2,0</math> mm)</b>		
<b>1.2.3.1</b>	<b>UV - Transmissionsgrad</b>	$t_{UVA}$	84
		$t_{UVB}$	19
<b>1.2.3.2</b>	<b>Infrarottransmissionsgrad</b>	$t_A$	92,5
<b>1.2.3.3</b>	<b>Direkter Strahlungstransmissionsgrad</b>	$t_e$	91,4
<b>1.3</b>	<b>Farbe</b>		
<b>1.3.1</b>	<b>Visuelle Beurteilung</b>	entfällt	
<b>1.3.2</b>	<b>Farbmetrik (<math>d = 2,0</math> mm)</b>		
	Die Normfarbwertanteile (Farbort) beziehen sich auf die angegebenen Normlichtarten CIE (2°-Beobachter)	D <sub>65</sub> x	0,314
		y	0,332
		A x	0,448
		y	0,408
<b>1.3.3</b>			entfällt
<b>1.3.4</b>	<b>Allgemeiner Farbwiedergabeindex <math>R_a</math> (<math>d = 2,0</math> mm)</b>	100	

<b>Spezifikation</b>		<b>PCE</b>	
Physikalische und chemische Eigenschaften		<b>B 270 Superwite</b>	
<b>2. Thermische Eigenschaften</b>			
<b>2.1 Viskositäten und die dazugehörigen Temperaturen</b>			
Bezeichnung	Viskosität log <i>h</i> in dPas	Temperatur <i>J</i> in °C	
Untere Kühltemperatur	14,5	511	
Obere Kühltemperatur	13,0	541	
Erweichungstemperatur	7,6	724	
Formgebungstemperatur	6,0	827	
Formgebungstemperatur	5,0	915	
Formgebungstemperatur	4,0	1033	
<b>2.2 Transformationstemperatur <i>T<sub>g</sub></i> in °C</b>			533
<b>2.3 Längenausdehnungskoeffizient <i>a</i></b>			
<b>2.3.1 Mittlerer thermischer Längenausdehnungskoeffizient</b>			
<i>a</i> in 10 <sup>-6</sup> K <sup>-1</sup> für den angegebenen Temperaturbereich (statische Messung)			
		<i>a</i> (20 °C;300 °C)	9,4
		<i>a</i> (20 °C;200 °C)	9,0
		<i>a</i> (20 °C;100 °C)	8,2
<b>2.3.2 Mittlerer thermischer Längenausdehnungskoeffizient</b>			
<i>a</i> in 10 <sup>-6</sup> K <sup>-1</sup> für den angegebenen Temperaturbereich (dynamische Messung)			
		<i>a</i> (20 °C;100 °C)	7,8
		<i>a</i> (20 °C;150 °C)	8,4
		<i>a</i> (20 °C;200 °C)	8,8
		<i>a</i> (20 °C;250 °C)	9,1
		<i>a</i> (20 °C;300 °C)	9,4
		<i>a</i> (20 °C;350 °C)	9,6
		<i>a</i> (20 °C;400 °C)	9,8
		<i>a</i> (20 °C;450 °C)	10,0
		<i>a</i> (20 °C;500 °C)	10,3

<b>Spezifikation</b>		<b>PCE</b>
Physikalische und chemische Eigenschaften		<b>B 270 Superwite</b>
<b>2.3.3</b>	<b>Mittlerer thermischer Längenausdehnungskoeffizient</b> $a$ in $10^{-6} \text{ K}^{-1}$ für den angegebenen Temperaturintervalle (dynamische Messung)	siehe Anlage
<b>2.4</b>	<b>Verschmelzbarkeit</b> <hr/> Eine Verschmelzung mit geeigneten Nahteilgläsern aus unserem Lieferprogramm ist möglich.	
<b>2.5</b>	<b>Mittlere spezifische Wärmekapazität <math>c_p</math> (20 °C bis 100 °C) in J/ (g·K)</b>	0,86
<b>2.6</b>	<b>Wärmeleitfähigkeit <math>l</math> in W/ (m·K) bei den</b> <b>angegebenen Temperaturen</b> <hr/> <div style="display: flex; justify-content: flex-end; gap: 10px;"> <div style="border-top: 1px solid black; padding-top: 2px;"><math>J = 24,5 \text{ °C}</math></div> <div style="border-top: 1px solid black; padding-top: 2px;">0,92</div> </div> <div style="display: flex; justify-content: flex-end; gap: 10px;"> <div style="border-top: 1px solid black; padding-top: 2px;"><math>J = 89 \text{ °C}</math></div> <div style="border-top: 1px solid black; padding-top: 2px;">1,01</div> </div> <div style="display: flex; justify-content: flex-end; gap: 10px;"> <div style="border-top: 1px solid black; padding-top: 2px;"><math>J = 127 \text{ °C}</math></div> <div style="border-top: 1px solid black; padding-top: 2px;">1,08</div> </div> <div style="display: flex; justify-content: flex-end; gap: 10px;"> <div style="border-top: 1px solid black; padding-top: 2px;"><math>J = 167 \text{ °C}</math></div> <div style="border-top: 1px solid black; padding-top: 2px;">1,15</div> </div>	
<b>2.7</b>	<b>Spezifische Wärmespannung <math>j</math> in N/ (mm<sup>2</sup>·K)</b>	0,86

Form 0050/7B

<b>Spezifikation</b>		<b>PCE</b>
Physikalische und chemische Eigenschaften		<b>B 270 Superwite</b>
<b>3.</b>	<b>Mechanische Eigenschaften</b>	
<b>3.1</b>	<b>Dichte <math>r</math> in g/cm<sup>3</sup></b>	2,55
<b>3.2</b>	<b>Spannungsoptischer Koeffizient <math>C</math> in <math>1,02 \times 10^{-12}</math> m<sup>2</sup>/N</b>	2,7
<b>3.3</b>	<b>Bruchfestigkeit</b>	
	Zulässiger Wert für die Biegefestigkeit $\sigma_{zul}$ technisch entspannter Gläser als Berechnungsgrundlage (Luft) in N/mm <sup>2</sup> .	30
	Eine Erhöhung der mechanischen Festigkeit kann durch chemisches Vorspannen nach dem Ionenaustauschverfahren (siehe Anlage 3.3.1) oder durch thermisches Vorspannen erzielt werden.	
<b>3.3.1</b>	<b>Chemisches Vorspannen</b>	
	Behandlungstemperatur $J$ in °C	420
	Behandlungsdauer $t$ in h	16
	Druckspannung $D_s$ als Spannungsdoppelbrechung in nm/cm	7200
	Eindringtiefe $N_z$ bis zur Neutralzone in $\mu$ m	48
	weitere Informationen	siehe Anlage
<b>3.3.2</b>	<b>Thermisches Vorspannen</b>	
	Empfohlene Mindestdicke $d$ in mm für Einscheibensicherheits-scheiben im Bauwesen gem. DIN 1249 T10 - 1990	4,0
<b>3.4</b>	<b>Elastizitätsmodul <math>E</math> in kN/mm<sup>2</sup></b>	71,5
<b>3.5</b>	<b>Poisson Zahl <math>m</math></b>	0,219
<b>3.6</b>	<b>Torsionsmodul <math>G</math> in kN/mm<sup>2</sup></b>	29,3
<b>3.7</b>	<b>Knoop-Härte <math>HK_{100}</math></b>	542

<b>Spezifikation</b>		<b>PCE</b>	
Physikalische und chemische Eigenschaften		<b>B 270 Superwite</b>	
<b>4. Chemische Eigenschaften</b>			
<b>4.1 Hydrolytische Beständigkeit nach DIN ISO 719</b>			
		Hydrolytische Klasse	HGB 3
		Basenäquivalent als Na <sub>2</sub> O je g Glasgrieß in µg/g	170
<b>4.2 Säurebeständigkeit nach DIN 12 116</b>			
		Säureklasse	S 2
		Halber Oberflächengewichtsverlust nach 6 Std. in mg/dm <sup>2</sup>	1,4
<b>4.3 Laugenbeständigkeit nach DIN ISO 695</b>			
		Laugenklasse	A 2
		Oberflächengewichtsverlust nach 3 Std. in mg/dm <sup>2</sup>	140
<b>5. Elektrische Eigenschaften</b>			
<b>5.1 Dielektrizitätszahl <math>\epsilon_r</math> bei 1 MHz</b>		7,0	
<b>5.2 Dielektrischer Verlustfaktor <math>\tan d</math> bei 1 MHz</b>		$30 \cdot 10^{-4}$	
<b>5.3 Spezifischer elektrischer Durchgangswiderstand <math>r_D</math> in W · cm</b>			
bei den angegebenen Temperaturen			
<b>5.3.1 <math>r_D</math> für Wechselstrom 50 Hz und 3 kHz</b>			
		$J = 1260 \text{ °C}$	10,2
		$J = 1386 \text{ °C}$	6,8
<b>5.3.2 <math>r_D</math> für Gleichstrom</b>			
		$J = 250 \text{ °C}$	$10^9$
		$J = 350 \text{ °C}$	$1,6 \cdot 10^7$
		$J = 400 \text{ °C}$	$2 \cdot 10^6$
<b>5.4 Temperatur <math>t_{k100}</math> in °C für einen spezifischen elektrischen Durchgangswiderstand von <math>10^8 \text{ W} \cdot \text{cm}</math></b>		301	

<b>Spezifikation</b>		<b>PCE</b>
Physikalische und chemische Eigenschaften		<b>B 270 Superwite</b>
<b>6.</b>	<b>Sonstige Eigenschaften</b>	
<b>6.1</b>	<b>Bleigleichwert in mm Pb bei 15 mm Glasdicke für Röntgenstrahlung</b>	
	Röhrensannung 50 kV/0,16 mm Cu Gesamtfilterung	0,24
	Röhrensannung 80 kV/0,16 mm Cu Gesamtfilterung	0,32
	Röhrensannung 110 kV/0,40 mm Cu Gesamtfilterung	0,33
	Röhrensannung 150 kV/0,70 mm Cu Gesamtfilterung	0,27
	<b>Mess- und Prüfverfahren</b>	
	Der Bleigleichwert wird bei Röntgenstrahlung (konstante Gleichspannung) mit den in der Tabelle angegebenen Gesamtfilterungen bestimmt (s. a. DIN 6845) .	
	Das bestrahlte Feld hat einen Durchmesser von 50 mm. Die Strahlenabsorption im Prüfling wird mit Bleiabsorbbern solcher Dicke verglichen, dass in beiden Fällen die gleiche Schwächung der Dosisleistung auftritt.	
	Als Detektor wird ein Szintillationsdosimeter (Szintillator 44 mm Durchmesser, 15 mm Höhe) verwendet.	
	Die Messunsicherheit beträgt $\pm 0,03$ mm.	
<b>6.2</b>	<b>Solarisationsverhalten</b>	
	Verschiebung der Kantenwellenlänge $I_c (t = 0,46)$ nach UV-Bestrahlung hin zu längeren Wellenlängen	$\Delta I_c$ in nm 2
	<b>Mess- und Prüfverfahren</b>	
	Die Probe wird mit einem UV - F 400 Flächenstrahler solarisiert.	
	Die Solarisationszeit beträgt 7h und der Abstand des Strahlers zur Probenaufgabe 14 cm.	
<b>7.</b>	<b>Anlagen (Diagramme, Kurven)</b>	

Form 0050/7B

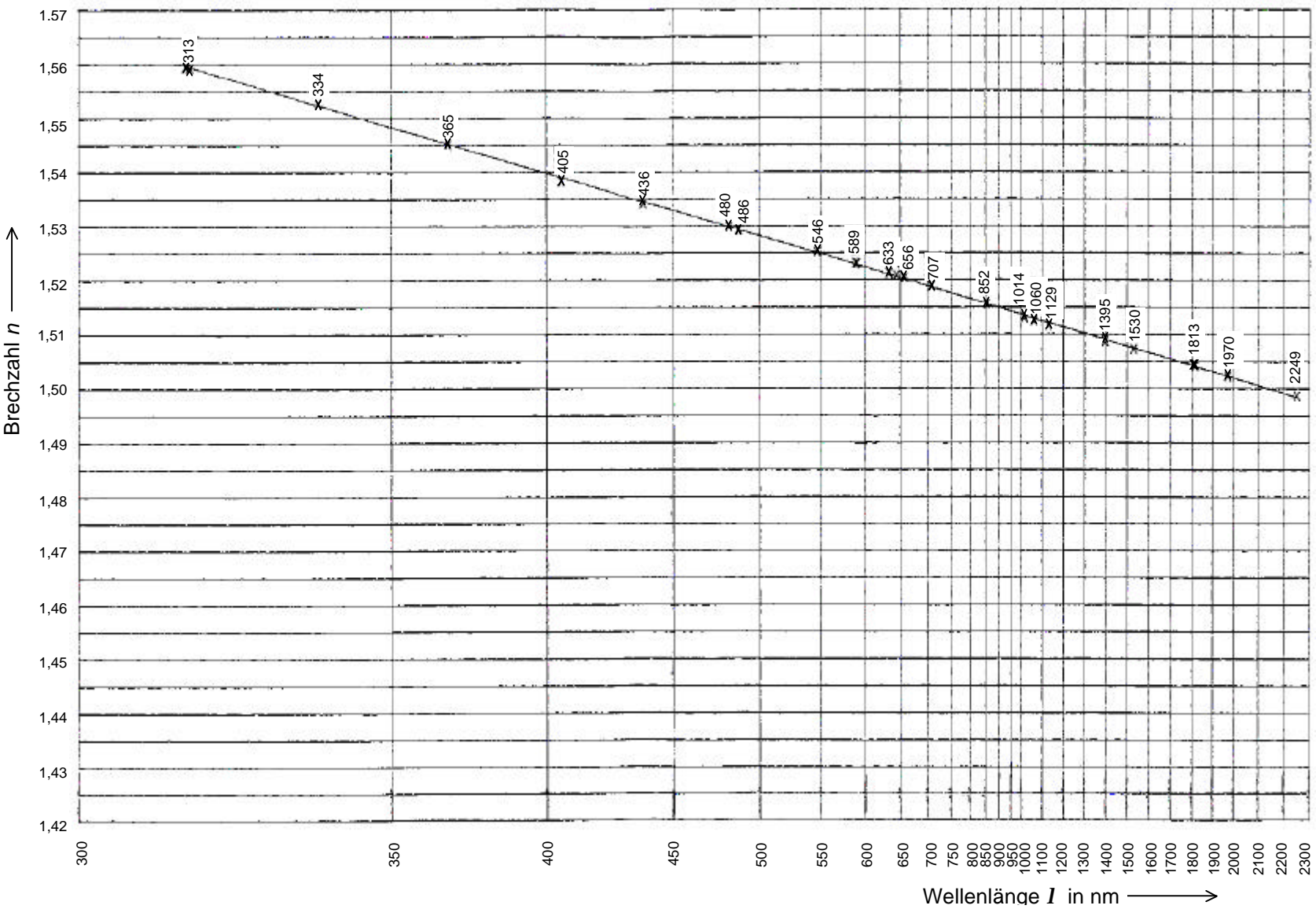


**Spezifikation**

Physikalische und chemische Eigenschaften

**PCE**  
**B 270 Superwite**

**Brechzahlen von B 270 Superwite in Abhängigkeit der Wellenlänge**



# Spezifikation

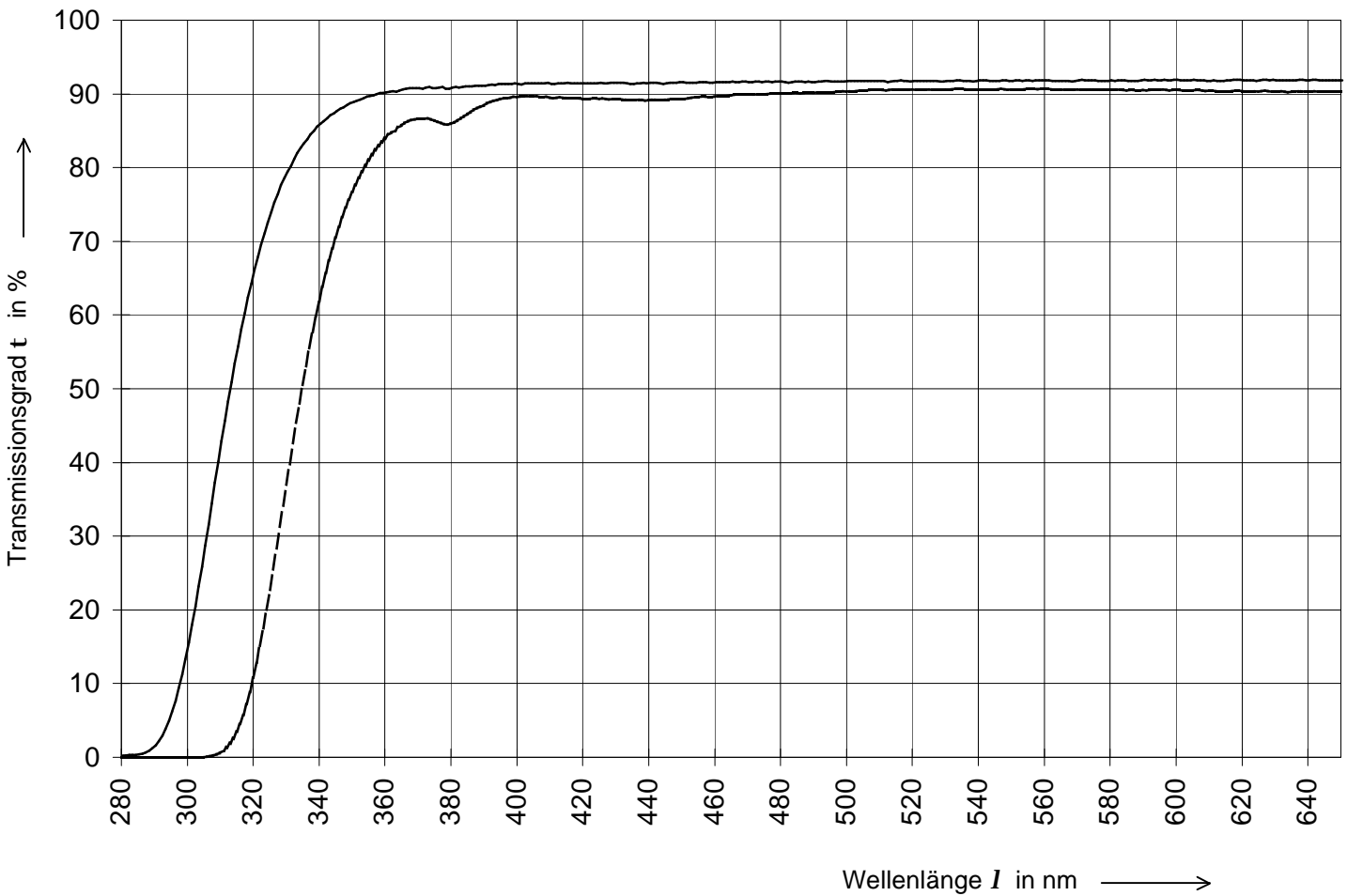
Physikalische und chemische Eigenschaften

PCE  
B 270 Superwite

## Spektraler Transmissionsgrad

Glasart: B 270 Superwite

Dicke: 2,0 mm ————— Dicke: 15,0 mm - - - - -



# Spezifikation

Physikalische und chemische Eigenschaften

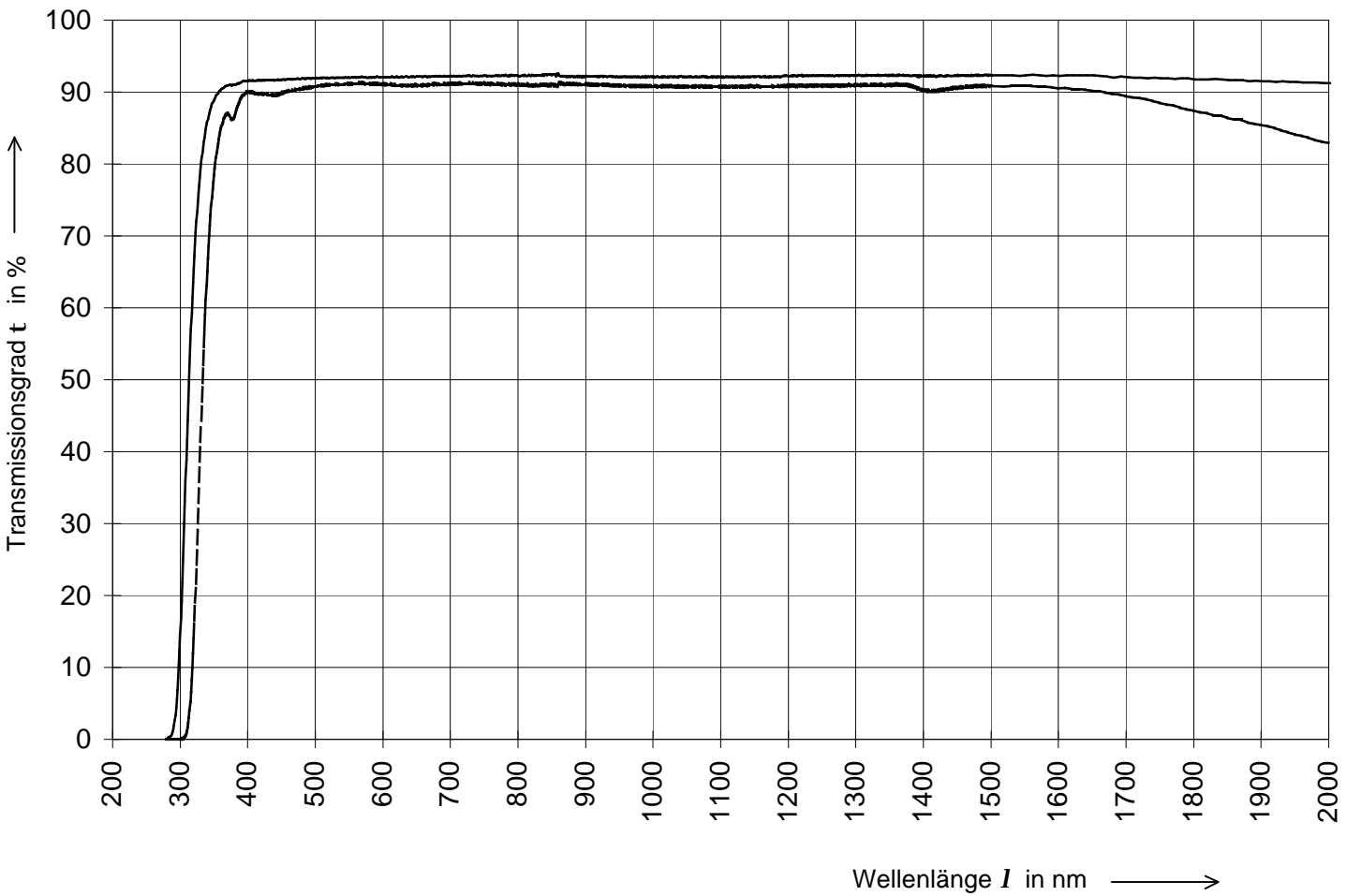
PCE  
B 270 Superwite

## Spektraler Transmissionsgrad

Glasart: B 270 Superwite

Dicke: 2,0 mm —————

Dicke: 15,0 mm - - - - -



Anlage 1.2.1.2

Spezifikation											PCE			
Physikalische und chemische Eigenschaften											B 270 Superwite			
Spektraler Transmissionsgrad $t(I)$ in % in Abhängigkeit der Dicke														
I in nm	Glasdicke in mm													
	1	2	3	4	5	6	7	8	9	10	15	20	25	30
300	35,1	13,5	5,2	2,0	0,8	0,3	0,1	0,0	0,0	0,0				
310	60,0	39,6	26,1	17,2	11,4	7,5	4,9	3,3	2,2	1,4				
320	76,0	63,4	52,9	44,1	36,8	30,7	25,6	21,4	17,8	14,9	10,9	5,4	2,6	1,3
330	84,2	77,8	71,8	66,3	61,3	56,6	52,3	48,3	44,6	41,2	34,6	25,0	18,1	13,1
340	88,0	84,9	81,9	79,0	76,3	73,6	71,0	68,5	66,1	63,8	59,6	51,8	44,9	39,0
350	89,8	88,4	87,1	85,7	84,4	83,1	81,8	80,6	79,3	78,1	75,1	70,4	65,9	61,8
360	90,6	89,9	89,2	88,5	87,9	87,2	86,5	85,9	85,2	84,6	83,0	80,4	77,8	75,4
370	90,8	90,4	89,9	89,4	89,0	88,5	88,0	87,6	87,1	86,7	85,6	83,8	82,0	80,3
380	90,9	90,4	90,0	89,5	89,1	88,6	88,1	87,7	87,2	86,8	85,4	83,6	81,7	79,9
390	91,2	91,0	90,7	90,5	90,3	90,1	89,9	89,7	89,5	89,2	88,6	87,7	86,8	85,9
400	91,3	91,2	91,0	90,9	90,7	90,6	90,5	90,3	90,2	90,0	89,5	88,9	88,2	87,6
410	91,3	91,2	91,1	91,0	90,8	90,7	90,6	90,4	90,3	90,2	89,7	89,1	88,5	87,9
420	91,4	91,2	91,1	91,0	90,8	90,7	90,6	90,4	90,3	90,2	89,6	88,9	88,3	87,7
430	91,4	91,2	91,1	91,0	90,8	90,7	90,6	90,4	90,3	90,2	89,4	88,8	88,1	87,4
440	91,4	91,3	91,1	91,0	90,8	90,7	90,6	90,4	90,3	90,1	89,5	88,8	88,1	87,4
450	91,4	91,3	91,2	91,1	90,9	90,8	90,7	90,5	90,4	90,3	89,7	89,1	88,5	87,9
460	91,5	91,4	91,3	91,2	91,1	91,0	90,9	90,8	90,7	90,6	90,0	89,5	89,0	88,5
470	91,5	91,4	91,4	91,3	91,2	91,1	91,0	90,9	90,8	90,8	90,3	89,9	89,4	89,0
480	91,6	91,5	91,4	91,3	91,3	91,2	91,1	91,1	91,0	90,9	90,5	90,1	89,8	89,4
490	91,6	91,5	91,5	91,4	91,4	91,3	91,2	91,2	91,1	91,1	90,8	90,5	90,2	89,9
500	91,6	91,6	91,5	91,5	91,4	91,4	91,4	91,3	91,3	91,2	90,9	90,6	90,4	90,1
510	91,6	91,6	91,5	91,5	91,4	91,4	91,4	91,3	91,3	91,2	90,9	90,7	90,4	90,2
520	91,7	91,6	91,6	91,5	91,5	91,4	91,4	91,3	91,3	91,2	91,1	90,9	90,7	90,5
530	91,7	91,6	91,6	91,6	91,5	91,5	91,5	91,4	91,4	91,4	91,2	91,0	90,8	90,6
540	91,7	91,7	91,6	91,6	91,5	91,5	91,5	91,4	91,4	91,3	91,2	91,0	90,9	90,7
550	91,7	91,7	91,6	91,6	91,5	91,5	91,5	91,4	91,4	91,3	91,2	91,0	90,9	90,7
560	91,7	91,7	91,6	91,6	91,5	91,5	91,5	91,4	91,4	91,3	91,2	91,0	90,8	90,6
570	91,7	91,7	91,6	91,6	91,5	91,5	91,5	91,4	91,4	91,3	91,2	91,0	90,8	90,6
580	91,7	91,7	91,6	91,6	91,5	91,5	91,5	91,4	91,4	91,3	91,1	90,9	90,6	90,4
590	91,7	91,7	91,6	91,6	91,5	91,5	91,5	91,4	91,4	91,3	91,0	90,8	90,5	90,3
600	91,7	91,7	91,6	91,6	91,5	91,5	91,5	91,4	91,4	91,3	90,9	90,7	90,4	90,1
610	91,7	91,7	91,6	91,5	91,5	91,4	91,3	91,3	91,2	91,1	90,9	90,6	90,3	90,0
620	91,7	91,7	91,6	91,5	91,5	91,4	91,3	91,3	91,2	91,1	90,8	90,4	90,0	89,7
630	91,8	91,7	91,6	91,5	91,5	91,4	91,3	91,3	91,2	91,1	90,7	90,3	90,0	89,6
640	91,7	91,7	91,6	91,5	91,4	91,3	91,2	91,1	91,0	90,9	90,6	90,2	89,8	89,4
650	91,7	91,7	91,6	91,5	91,4	91,3	91,2	91,1	91,0	90,9	90,6	90,2	89,8	89,4
660	91,8	91,7	91,6	91,5	91,5	91,4	91,3	91,3	91,2	91,1	90,7	90,3	89,9	89,5
670	91,8	91,7	91,6	91,6	91,5	91,4	91,3	91,2	91,2	91,1	90,7	90,3	90,0	89,6
680	91,8	91,7	91,6	91,6	91,5	91,4	91,3	91,2	91,2	91,1	90,7	90,3	90,0	89,6
690	91,8	91,7	91,6	91,6	91,5	91,4	91,3	91,2	91,2	91,1	90,8	90,4	90,1	89,7
700	91,8	91,7	91,6	91,6	91,5	91,4	91,3	91,2	91,2	91,1	90,8	90,4	90,1	89,7
710	91,8	91,7	91,6	91,6	91,5	91,4	91,3	91,2	91,2	91,1	90,8	90,4	90,1	89,7
720	91,8	91,7	91,6	91,6	91,5	91,4	91,3	91,2	91,2	91,1	90,8	90,4	90,1	89,7
730	91,8	91,8	91,7	91,6	91,6	91,5	91,4	91,4	91,3	91,2	90,8	90,4	90,1	89,7
740	91,8	91,8	91,7	91,6	91,6	91,5	91,4	91,4	91,3	91,2	90,8	90,4	90,1	89,7
750	91,8	91,8	91,7	91,6	91,6	91,5	91,4	91,4	91,3	91,2	90,8	90,4	90,1	89,7
760	91,8	91,8	91,7	91,6	91,6	91,5	91,4	91,4	91,3	91,2	90,8	90,4	90,1	89,7
770	91,8	91,8	91,7	91,6	91,6	91,5	91,4	91,4	91,3	91,2	90,8	90,4	90,0	89,6
780	91,8	91,7	91,7	91,6	91,5	91,4	91,3	91,2	91,1	91,1	90,7	90,3	89,9	89,5
790	91,9	91,8	91,7	91,6	91,6	91,5	91,4	91,4	91,3	91,2	90,7	90,2	89,8	89,4
800	91,8	91,8	91,7	91,6	91,5	91,4	91,3	91,2	91,1	91,0	90,6	90,2	89,7	89,3

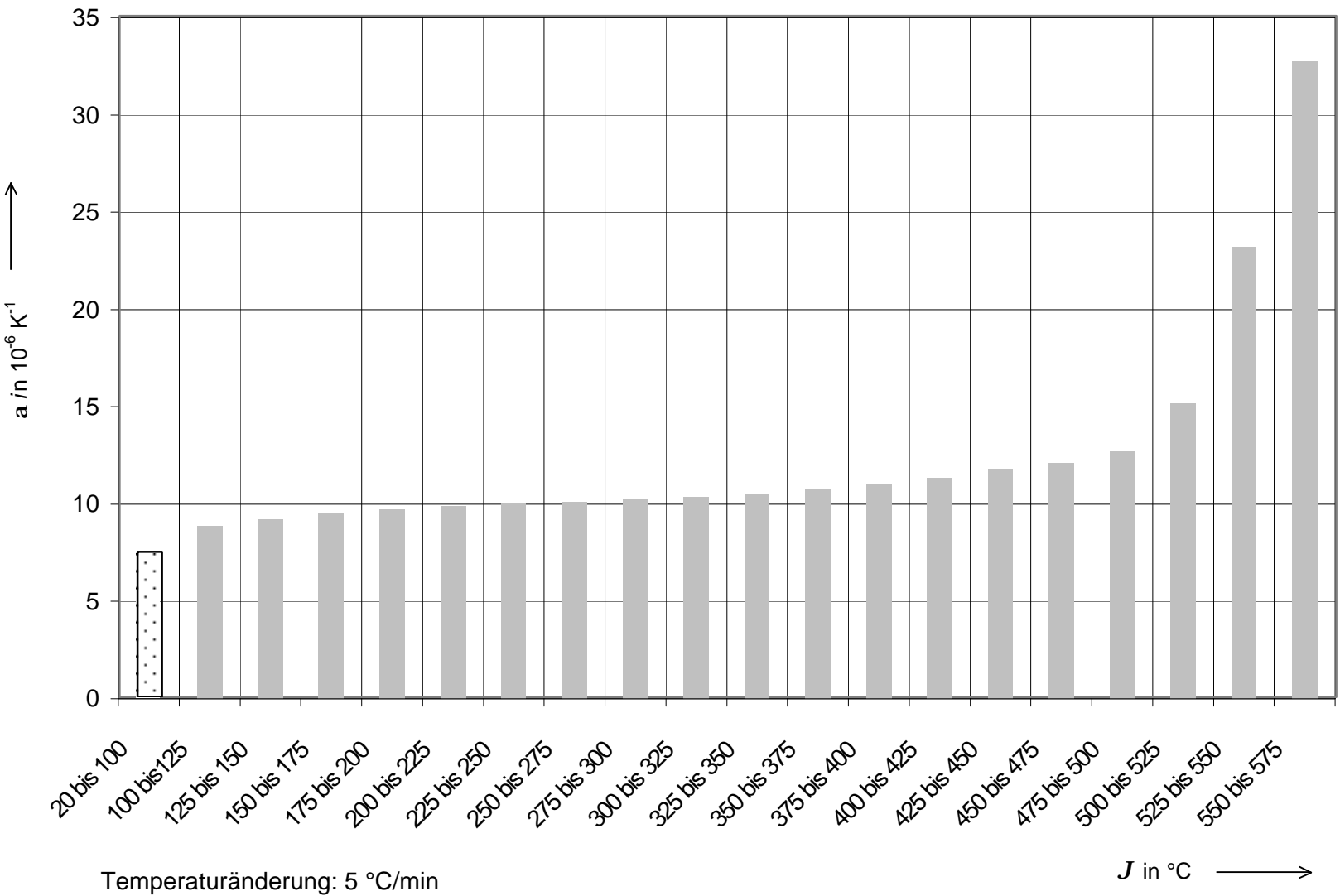
Form 0050/7B

### Spezifikation

Physikalische und chemische Eigenschaften

PCE  
B 270 Superwite

### Mittlerer thermischer Längenausdehnungskoeffizient $a$ bei stetig steigender Temperatur, in 25° - Schritten



Anlage 3.3.1

<b>Spezifikation</b>		<b>PCE</b>													
Physikalische und chemische Eigenschaften		<b>B 270 Superwite</b>													
<b>CH - Parameter</b>															
<b>Glas- und CH - Parameter</b>															
<b>Transformationstemperatur</b>	°C	533													
<b>Glasdicke</b>	mm	3													
<b>Behandlungsdauer</b>	h	16													
<b>Behandlungstemperatur</b>	°C	420													
<b>Salzbad (* Gewichtsprozente)</b>	KNO <sub>3</sub> in % *	99,5													
	SiO <sub>2</sub> x H <sub>2</sub> O in % *	0,5													
<b>CH - Ergebnisse *</b>															
<b>Eindringtiefe</b>	µm	48													
<b>Spannungsdoppelbrechung</b>	nm/cm	7200													
* gemessen bei einer Dünnschliffdicke von 0,3 mm ± 0,05 mm															
<b>Kugelfalltest nach FDA</b>	% Ausfall	nicht durchgeführt													
<b>Kugelfalltest nach DIN</b>	% Ausfall	nicht durchgeführt													
<table border="1" style="display: none;"> <caption>Data points for the stress birefringence graph</caption> <thead> <tr> <th>Behandlungstemperatur (°C)</th> <th>Spannungsdoppelbrechung (nm/cm)</th> </tr> </thead> <tbody> <tr><td>360</td><td>3500</td></tr> <tr><td>400</td><td>7200</td></tr> <tr><td>420</td><td>7400</td></tr> <tr><td>440</td><td>6200</td></tr> <tr><td>480</td><td>2800</td></tr> </tbody> </table>				Behandlungstemperatur (°C)	Spannungsdoppelbrechung (nm/cm)	360	3500	400	7200	420	7400	440	6200	480	2800
Behandlungstemperatur (°C)	Spannungsdoppelbrechung (nm/cm)														
360	3500														
400	7200														
420	7400														
440	6200														
480	2800														

Form 0050/7B